



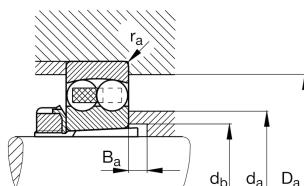
FAG

2210-K-TVH

Радиальный сферический шарикоподшипник

Радиальный сферический шарикоподшипник 22...-K-TVH, коническое отверстие, конусность 1:12, пластмассовый сепаратор

Техническая информация



Ваш текущий вариант продукта

Исполнение отверстия	K	Коническое, 1:12
Уплотнение	Without	Not sealed
Cage	TVH	Solid cage made of glass-fiber reinforced polyamide PA66
Tolerance class	PN	Normal (ISO 492:2023)
Радиальный зазор	CN (Group N)	Normal internal clearance
Lubricant	Without	Bearing not greased

Основные размеры и рабочие характеристики

d	50 mm	Диаметр отверстия
D	90 mm	Наружный диаметр
B	23 mm	Ширина
C _r	28.500 N	Динамическая грузоподъемность, радиальная
C _{0r}	9.500 N	Статическая грузоподъемность, радиальная
C _{ur}	600 N	Предел усталостной нагрузки, радиальный
n _G	8.100 1/min	Предельная частота вращения
n _{gr}	7.100 1/min	Номинальная тепловая частота вращения
m	0,54 kg	Вес



Присоединительные размеры

$d_{a \min}$	57 mm	Мин. диаметр заплечика вала
$d_{a \max}$	61 mm	Макс. диаметр заплечика вала
$D_{a \max}$	83 mm	Макс. диаметр заплечика корпуса
$d_{b \min}$	55 mm	Мин. диаметр под втулку
$B_{a \min}$	10 mm	Мин. глубина под втулку
$r_{a \max}$	1 mm	Макс. радиус галтели

Габаритные размеры

r_{\min}	1,1 mm	Мин. размер монтажной фаски
D_1	80,54 mm	Диаметр заплечика для наружного кольца
d_1	64 mm	Диаметр заплечика внутреннего кольца

Диапазон температур

T_{\min}	-30 °C	Мин. рабочая температура
T_{\max}	120 °C	Макс. рабочая температура

Коэффициенты для расчета

e	0,24	Предельное значение F_a/F_r для применимости различн. значений коэффициентов X и Y
Y_1	2,62	Динамический коэффициент осевой нагрузки
Y_2	4,06	Динамический коэффициент осевой нагрузки
Y_0	2,75	Статический коэффициент осевой нагрузки

Дополнительная информация

H310

Закрепительная втулка



Характеристики

-  Радиальная нагрузка
-  Осевая нагрузка в одном направлении
-  Осевая нагрузка в обоих направлениях
-  Смазывание пластичной смазкой
-  Смазывание маслом
-  Без уплотнений
-  Статические угловые и линейные несоосности
-  Динамические угловые и линейные несоосности